

# 迴转仪的理论和应用

下册

---

R. 格 兰 曼

科学出版社

DER KREISEL  
SEINE THEORIE  
UND SEINE ANWENDUNGEN

von

Dr. R. GRAMMEL

Zweite, neubearbeitete Auflage

Zweiter Band:

Die Anwendungen des Kreisels

1950

迴轉仪的理論和应用

下册

R. 格 兰 曼 著

吳 震 光 譯

\*

科学出版社出版 (北京朝阳门大街 117 号)

北京市書刊出版業營業執照字第 061 号

中国科学院印刷厂印刷 新华书店总經售

\*

1959年12月第一版      單字：2012字數：255,000

1959年12月第一次印刷      开本：850×1168 1/32

(京)：0001—5,000      印张：93/4

定价：1.40 元

## 作者第二版序<sup>1)</sup>

本书的下册是研究迴轉仪的应用。迴轉仪的应用极宜分为彼此完全不同的三个种类。第一类是关于装有旋轉部份的机器（包括車輛、船舶和飞机等）所产生的迴轉力矩的有效利用、以及不需要的甚至有害作用的研究。第二类就是迴轉仪仪器。第三类是关于一般造得很强大的、直接的迴轉仪稳定器，这种稳定器在技术发展史和天文学上，都是很有意义的。

我在編列讲述所有这些迴轉仪的应用时，力求实质上，而不是形式上的完全。这譬如說，我們根本不能一一例举各种迴轉仪的构造或設計。我将尽我自己的認識，不放走任何一个有关迴轉仪之应用問題的实质部份（第一版中討論原子中迴轉仪作用之現象的一部份，这一版則已刪去。因为当时对于这个問題的物理解释，現在早已过时，而且現在已經代之以无須迴轉仪力学理論来解释的有关电子自旋的概念）。

有許多討論迴轉仪之应用的書籍，常常引例仪器和机器的外觀图。这并无多大好处，因为这根本不需要解释。我在本書的新版里一般只画切面图，而且經常只画极其精要的簡化图；仅在极少数几个必需的情形里，才作整个的构造图。本書总的目的不在于研究实际构造（例如迴轉仪器的构造），而是解释机器和仪器中的迴轉仪的作用，以及說明迴轉仪器的基本思想：因此，我特別注意迴轉仪的扰动及稳定等理論。唯有循着这样的途径，才能获得这类仪器的完整概念。

格兰曼 1950 年于斯特各德

1) 本册譯文仍沿用上册所取的术语、名詞——譯者。

# 目 录

## 迴轉仪的应用

第一章 具有旋轉部件的机器的迴轉仪效应 .....	( 1 )
§ 1. 滚动磨机 .....	( 1 )
1. 碾磨机. 2. 三种改善碾輪的方法. 3. 摆磨机.	
§ 2. 轉子的临界轉速 .....	( 14 )
1. 简单轉軸. 2. 影响系数. 3. 相逆运动的临界轉速. 4.	
多圆盘軸. 5. 密靠的多圆盘軸.	
§ 3. 車辆及船舶 .....	( 40 )
1. 双軌鐵道. 2. 高架鐵道. 3. 悬架鐵道. 4. 自动車. 5.	
船舶. 6. 船舶振动的迴轉仪約束. 7. 双輪車.	
§ 4. 飞机 .....	( 65 )
1. 回轉力矩. 2. 航空动力学基础. 3. 产生安定作用的迴	
轉仪效应. 4. 飞机振动的迴轉仪約束. 5. 飞机的迴旋下	
降运动. 6. 直升飞机.	
第二章 回轉仪器 .....	( 91 )
§ 5. 装备罗盘迴轉仪的仪器 .....	( 92 )
1. 福科迴轉仪. 2. 傾度迴轉仪和拔里迴轉仪. 3. 偏差迴	
轉仪. 4. 証明地球轉動的迴轉仪試驗. 5. 单自由度的彈	
性約束.	
§ 6. 回轉仪罗盘 .....	( 111 )
1. 回轉仪罗盘的技术发展史. 2. 置于固定基础上的单轉	
子迴轉仪罗盘. 3. 单轉子迴轉仪罗盘的航向罗差和冲击罗	
差. 4. 亞靜液力阻尼消振. 5. 側滾罗差. 6. 側滾罗差的	
消除. 7. 无側滾罗差的迴轉仪罗盘.	
§ 7. 装备摆迴轉仪的人工水平仪 .....	( 162 )
1. 无阻尼的迴轉仪摆. 2. 回轉仪摆的消振(阻尼)装置. 3.	
装备噴嘴調整器的摆迴轉仪. 4. 装备修正电动机的摆迴轉	

仪。5. 其他构造的摆迴轉仪。	
<b>§ 8. 轉向迴轉仪和位置迴轉仪</b>	(206)
1. 轉向指示器。2. 航向迴轉仪。3. 方向迴轉仪。4. 修正 迴轉仪。	
<b>§ 9. 其他的迴轉仪仪器</b>	(229)
1. 微分迴轉仪和积分迴轉仪。2. 調节迴轉仪。	
<b>第三章 直接稳定器</b>	(241)
<b>§ 10. 方向迴轉仪</b>	(242)
1. 地球。2. 抛射体。	
<b>§ 11. 修正迴轉仪</b>	(262)
1. 装备鉛直迴轉仪的单軌鐵道。2. 車辆的曲線行駛和直 線变速行駛。3. 装备橫迴轉仪的单軌鐵道車辆。4. 魚雷 迴轉仪。	
<b>§ 12. 阻振迴轉仪</b>	(280)
1. 受抑制的船舶迴轉仪。2. 抑制系数和动量矩的最有利 数值的选择。3. 受調节的船舶迴轉仪。	
<b>索引</b>	(302)

# 第一章

## 具有旋轉部件的机器的迴轉仪效应

一个物体能够不改变它在空間內的总位置而匀速轉動。旋轉运动的这个特质可以把它与其他各种运动形式区分开，并且，用來在有限的空間內，以飞輪动能或机器其他旋轉部件之动能的形式，积蓄相当大的能量。因为物体作旋轉运动时各个部分經過一定的时间間隔后，总要再度經過原来的起始位置，所以所謂迴轉仪机器（汽、气和水輪机，离心泵，压缩机，鼓風机，发电机和电动机等）和其他許多发动机（水的和空气的螺旋桨推进器），也可以充作能量轉換之用。最后，旋轉运动很久以来就一直被用来获得車輪的平移运动。

在所有这些情形之中，我們总要遇到动量矩經常是很大的迴轉仪問題，并且当机器旋轉部分的轉軸一有迴轉，即轉軸的空間方向一有改变，就要产生通常不需要的、有时甚至是危險的迴轉力矩，仅在某几个有限的情形里才是有益的。

我們将从在技术上有很有利的迴轉仪表現的所謂碾磨机和摆磨机的情形开始討論。然后研究轉子进入安定旋轉之后的迴轉力矩的作用，特別是这个力矩对于轉子临界速度的影响，这甚至对它不引起危害結果的情况下，也必須加以計算。最后，我們还要讲到車輛、船舶和飞机在运动时所可能发生的迴轉仪現象。

我們在計算中随时需要用到迴轉力矩  $K_b$ 。对称迴轉仪的迴轉力矩，上册 §5 第二段已經算出；非对称迴轉仪的迴轉力矩，则在上册 §8 第十一段里也已算好。

### § 1. 滚 动 磨 机

1. 碾磨机 我們在支持平面上滾轉着的碾磨型或摆磨型的滾

在滚动磨机上，可以看到很显著的迴轉仪效应。可惜，这种效应用到現在还不是众所周知，因此，在滚动磨机的设计上，一般仍未利用到应有的程度。

碾磨机基本上是由两个装在主轴( $m$ )上并由垂直主动轴( $t$ )传动的圆柱形或微锥形的滚辊( $l$ )所组成(图1和图2)，这样的滚辊称为碾轮。当主动轴转动时，碾轮就在支承( $p$ )上压着轮子下的待磨料滚动着，把待磨料压碎、研细。有的磨机只装一个碾轮(图3和图4)。为了使碾轮能压住待磨料中大块坚硬的颗粒，主轴与主动轴应当装成可以作相对运动。为此可以使用接头(图1和图3之 $n$ )、特制的曲柄(图2之 $s$ )或球铰链(图4之 $g$ )等(这里我們不談那种主轴固定而支承在碾轮之下转动的构造，因为那样设计的磨机不会产生迴轉力矩)。

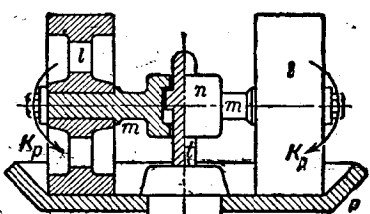


图1. 有接头的双碾輪磨机。

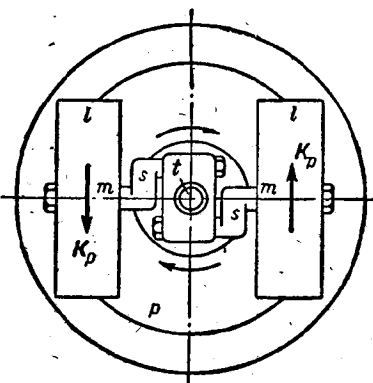


图2. 有曲柄的双碾輪磨机。

碾磨机正是繞垂直主动軸作强迫規則進动之对称迴轉仪的一种技术模型。这种进动是要产生迴轉力矩  $K_p$  的。根据轉軸的一致平行規則(上册 §5 第二段的定理 I)，就容易知道这个力矩在各种不同碾輪构造里所显示的作用。如果是双碾輪，而且主轴与主动轴是用接头或曲柄連接的；那么迴轉力矩要使主轴弯曲，这就是說，迴轉力矩表現为設計計算时所必須考虑进去的弯矩。迴轉力矩在用接头連接的单碾輪磨机中的作用特別有害。在这种情形

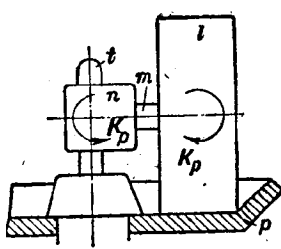


图 2. 有接头的单碾輪磨机。

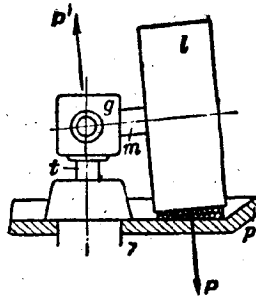


图 4. 有球铰链头的单碾輪磨机。

中，迴轉力矩不仅要使主軸弯曲，而且还要大大地增加接头轴承处的压力。唯有在主軸与主动轴用球铰链头連接的情形里（图 4），表現为力偶  $(P, P')$  形式的迴轉力矩，才能除了对主动軸和其轴承有附加載荷之外，与靜压力比較，会增加碾輪对支钣的压力，而且在恰当的条件之下可以增加到几倍。正是由于这个緣故，使球铰链头的碾輪在实践上成为最有效力和最适用的一种型式。但是这个所以有效的原因，即迴轉力矩  $K_p$  在这种情形里的有益作用，却曾經長時間地沒有查出<sup>1)</sup>。

設  $A$  为碾輪对主軸中心軸的轉动慣量，主軸的中心軸綫現在就是形体軸； $B$  是对于过主軸与主动两中心軸綫之交点的軸的轉动慣量（图 5），这軸垂直形体軸； $\omega_e$  为碾輪繞其形体軸的本征角速度，以及  $\omega_p$  为繞主动軸的进动角速度。那么，如以  $\delta$  記一般任意的主軸与主动軸的夹角，则根据上册 §5 第二段的公式(5)，就有下列迴轉力矩的数量公式：

$$K_p = [A\omega_e + (A-B)\omega_p \cos \delta] \omega_p \sin \delta, \quad (1)$$

迴轉力矩以使  $\delta$  角减小者为正值。

一般碾輪的  $\delta$  角等于  $90^\circ$ ，此外，进动角速度  $\omega_p$  恒等于主动軸的工作角速度  $\omega_i$ 。碾輪的本征角速度  $\omega_e$  容易用工作角速度  $\omega_i$  表示。我們取碾輪的任一圓切面，例如取过碾輪之重心  $S$  的切面，

1) 滚动磨机的迴轉仪理論是由作者首先作出的；見R. Grammel, Z. VDI, 1917, 572頁。

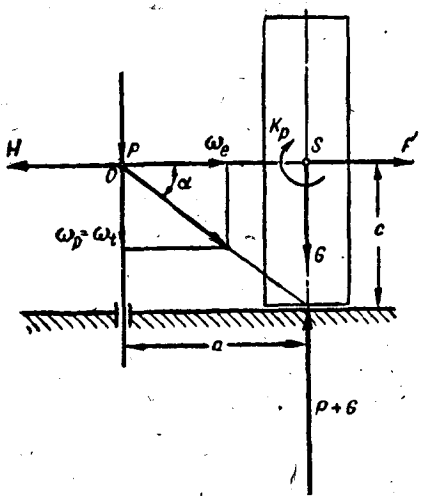


图 5. 磨机的运动和示力图。

对于这参考系所立的动平衡方程式，应在已有的碾輪重量  $G$ 、支钣反力  $P+G$  以及球鉗鏈头給碾輪的水平和鉛直力  $H$  与  $P$  之外，再补加两个达仑培尔的虚力，这就是：第一，补加由  $\omega_t$  转动决定的离心力

$$F = \frac{G}{g} a \omega_t^2,$$

式中  $a=OS$ ；第二，补加迴轉力矩  $K_p$ 。这样，我們由动静法求得作用在主动轴上的水平载荷为

$$H = \frac{G}{g} a \omega_t^2, \quad (4)$$

作用在支钣上决定于迴轉力矩的补加压力，则为

$$P = \frac{K_p}{a} = \frac{A}{a} \omega_t^2 \operatorname{ctg} \alpha = \frac{A}{c} \omega_t^2, \quad (5)$$

式中  $c$  是碾輪的流动半径。我們通过关系式

$$A = \frac{G}{g} k^2,$$

然后以  $\alpha$  記  $O$  点对此切面圆之半徑的射角，并假定碾輪在支钣上无滑动地滚动，即得

$$\begin{aligned} \omega_e &= \omega_t \operatorname{ctg} \alpha, \\ \omega_p &= \omega_t. \end{aligned} \quad (2)$$

由此可见，对于  $\delta=90^\circ$  的情形，有球鉗鏈头之碾輪的迴轉力矩为

$$K_p = A \omega_t^2 \operatorname{ctg} \alpha. \quad (3)$$

我們采用以角速度  $\omega_t$  随主动軸旋转的参考系来研究碾輪的运动。在这个参考系中，碾輪只有本征角速度

将惯性半径引入上式，即得分別由迴轉力矩及碾輪自重所引起的两个压力之比

$$\frac{P}{G} = \frac{k^2}{cg} \omega_t^2. \quad (6)$$

以上的計算是在假定主軸与碾輪剛性連結，因之，主軸也参与角速度为  $\omega_e$  之本征轉动的条件下完成的。如果主軸不参与本征轉动，则  $A$  应仅是碾輪的轉動慣量，公式(6)也应稍有修改，关于这些我們就不談了。

我們舉一个例子。設碾輪的尺寸  $a=0.5$  米， $c=0.45$  米，碾輪的自重  $G=1000$  公斤。假定碾輪的慣性半徑  $k=0.4$  米，那么轉動慣量即为  $A=16.3$  公斤米秒<sup>2</sup><sup>1)</sup>。因此，当工作速度为 1 轉/秒，即  $\omega=2\pi$  秒<sup>-1</sup> 时，我們有

$$P=1420 \text{ 公斤}, \quad \frac{P}{G}=1.42, \quad H=2000 \text{ 公斤},$$

可見，由迴轉力矩引起的補加压力，接近比碾輪的自重大半倍。我們如果使用有球鉸鏈头的碾輪，就能不化代价地得到这些補加的压力，而且也不会使主动軸的水平載荷有所增加。假如用接头裝置来代替球鉸鏈头，迴轉力矩即表現为作用在主軸上的有害的弯矩  $M=aP=710$  公斤米，并且不会产生任何作用在支鋟上的碾輪的補加压力。

**2. 三种改善碾輪的方法。**迴轉力矩  $K_p$  的普遍公式(1)和特殊公式(3)表明，我們可以通过几种不同的方法来改善碾輪在磨机中的作用。

在公式(1)中令  $\delta=90^\circ$ ，得

$$K_p = A \omega_e \omega_p, \quad (7)$$

可見，如果将进动角速度  $\omega_p=\omega_t$  保持不变而增大碾輪的本征角速度  $\omega_e$ ，那么也可以增加迴轉力矩  $K_p$ ，而并不同时增加与  $\omega_p^2$  成正比的离心力。根据公式(2)的第一式，这只要足够地减小  $\alpha$  角就行。但

1) 我們以后都采用工程单位制。

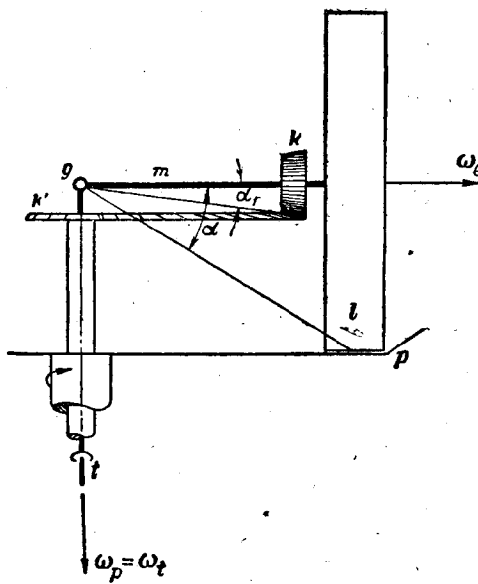


图 6. 有导盘的磨机。

是用这种方法不能得到最好的結果，因为碾輪及支鋸尺寸的变动范围一般很窄。另一种增加角速度 $\omega_t$ 的方法如图 6 所示。这是把支鋸( $p$ )做成可以旋转，而在主軸上裝着一个不大的圓錐齒輪( $k$ )，它在一个水平固定的圓盤( $k'$ )上滚动着，并且两者的銜齒之間留有足够的間隙。这样一来，現在就不是支鋸( $p$ )，而是圓盤( $k'$ )起着碾輪

导轨的作用。但因为圓盤( $k'$ )与齒輪( $k$ )間留有足够的間隙，所以圓盤沒有垂直朝上的压力施給圓錐齒輪( $k$ )。設 $\alpha_1$ 和 $\alpha$ 为从球鉗鏈头的中心( $g$ )引至圓錐齒輪( $k$ )半徑和碾輪半徑的射角。我們将公式(2)和(3)中的 $\alpha$ 角以 $\alpha_1$ 角代替，即得为原值之 $\operatorname{ctg} \alpha_1 : \operatorname{ctg} \alpha$ 倍大的迴轉力矩 $K_p$ 的新数值，由迴轉力矩引起的碾輪对于支鋸的压力也增大同样的倍数；与此同时，工作速度 $\omega_t$ ，因而离心力却仍旧保持原值。这样改变結構的結果，并不增加主动軸的載荷，而是把它比較不危險地分配在碾輪与支鋸之間。这一种附加圓錐齒輪的装置，特別适用于如因安装攪拌器而不得不限用单碾輪的情形。

此外，也有建議采用在碾輪里面安装由电流驅动的高速轉子的方法<sup>1)</sup>，来达到增加本征角速度 $\omega_t$ 而无須提高工作速度 $\omega_t$ 的目

1) E. Baltz, Mellands Textilber., 1946, 226 頁。

的。

增大迴轉力矩的另一种方法，如公式(3)所示，在于增加轉动慣量  $A$ 。但为了不致因而使离心力增大，就必须摒棄一般圓筒形狀的碾輪，而找出另一种更加适宜的形状。

图 7 上画着一份(四分之一)碾輪的三个投影图。碾輪的外形

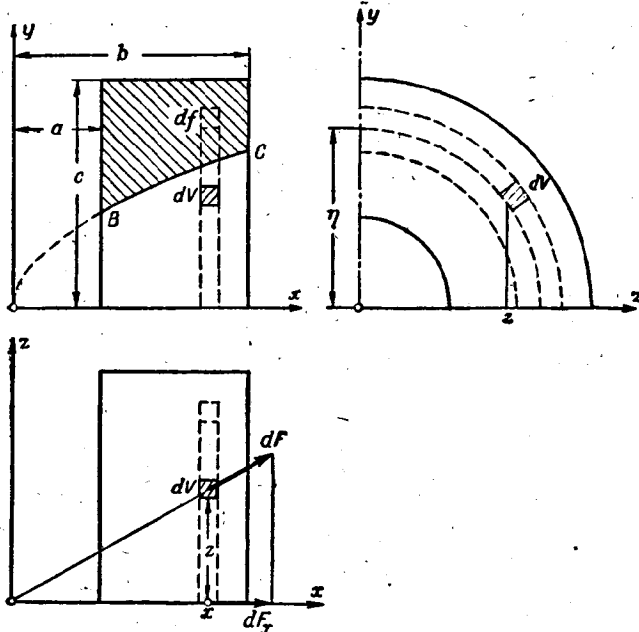


图 7. 最有利的碾輪断面。

是由两个离主动軸之距离为  $a$  和  $b$  的垂直平面以及中心軸同主动重合半徑为  $c$  的圓柱面所限定的。因之，碾輪的形状只能通过内界綫  $BC$  来改变。图 7 取主軸和主动軸为  $x$  和  $y$  軸， $z$  軸垂直  $x$  和  $y$  軸而朝水平方向。現在我們的問題是：在給定的离心力  $F$  数值的条件下，找出使軸轉动慣量  $A$  最大的函数  $y=y(x)$  之曲綫  $BC$ 。

設  $df=dx dy$  为碾輪之环形质量素的断面积，此环的半徑为  $\eta$ ；那么以  $\gamma/g$  記碾輪的密度，我們即得轉动慣量  $A$  为

$$A = \frac{2\pi\gamma}{g} \int \eta^3 dt = \frac{2\pi\gamma}{g} \int_a^b dx \int \eta^3 d\eta = \\ = \frac{\pi\gamma}{2g} \left[ (b-a)c^4 - \int_a^b y^4 dx \right]. \quad (8)$$

这个环上离  $(x, y)$  平面  $z$  处的一个体积素  $dV$  的离心力为

$$dF = \frac{\gamma\omega_t^2}{g} \sqrt{x^2 + y^2} dV,$$

此力沿主轴的分量为

$$dF_z = \frac{x}{\sqrt{x^2 + z^2}} dF = \frac{\gamma\omega_t^2}{g} x dV,$$

求整个碾輪的这些分量之和，即得全离心力：

$$F = \frac{2\pi\gamma\omega_t^2}{g} \int x \eta dF = \frac{2\pi\gamma\omega_t^2}{g} \int_a^b x dx \int_y^c \eta d\eta = \\ = \frac{\pi\gamma\omega_t^2}{g} \left[ \frac{1}{2} (b^2 - a^2) c^2 - \int_a^b xy^2 dx \right]. \quad (9)$$

我們为了解决所提的問題，应当要求（由量綱相等得出的）表达式

$$\omega_t^2 A - \lambda F$$

具有最大值，式中  $\lambda$  是待定參量，或归結于要求积分

$$J = \int_a^b (y^4 - 2\lambda xy^2) dx \quad (10)$$

具有最小值。如果我們已經知道使积分式(10)具有所求性质的函数  $y(x)$ ，那么将函数  $y(x)$  增加一个无限小的增量  $\Delta y$ ，将不会使  $J$  的数值有显著的改变。因之，我們仍旧有

$$J = \int_a^b [(y + \Delta y)^4 - 2\lambda x(y + \Delta y)^2] dx,$$

或去掉  $\Delta y$  之高于二次幂的各项后，得

$$J = \int_a^b [y^4 + 4y^3\Delta y - 2\lambda x(y^2 + 2y\Delta y)] dx. \quad (11)$$

自等式(11)中减去等式(10)，即得

$$\int_a^b y(y^2 - \lambda x)\Delta y dx = 0, \quad (12)$$

无论增量  $\Delta y$  沿子午曲线  $BC$  怎样取，这个等式总是成立。但是这只有当积分式(12)中的被积函数等于零时才可能，这就是说，除了一般不适用的解  $y=0$  (圆片)之外，我们得到

$$y^2 = \lambda x. \quad (13)$$

这个解指出：如果不看轮毂和轮辐，那么碾轮的内部应当挖成顶点在主轴与主动轴两中心轴之交点的旋转抛物体形状，此抛物体的参数  $\lambda$  由使碾轮之离心力  $F$  得许可数值的条件决定。

将(13)式的数值代入等式(9)，即得

$$F = \frac{\pi \gamma \omega_t^2}{g} \left[ \frac{1}{2} (b^2 - a^2) c^2 - \frac{1}{3} \lambda (b^3 - a^3) \right],$$

于是找到参数  $\lambda$  的数值为

$$\lambda = \frac{3g(F - F_0)}{\pi \gamma \omega_t^2 (b^3 - a^3)}, \quad (14)$$

式中

$$F_0 = \frac{\pi \gamma \omega_t^2}{2g} (b^2 - a^2) c^2, \quad (15)$$

这是尺寸为  $a$ 、 $b$  和  $c$  的整个不挖空碾轮的离心力。将(13)式的数值代入等式(8)，则得轴转动惯量  $A$

$$A = \frac{\pi \gamma}{2g} \left[ (b-a) c^4 - \frac{1}{3} \lambda^2 (b^3 - a^3) \right]. \quad (16)$$

我们可以用变分法证明，这一个  $A$  值确是对于给定离心力之最大的轴转动惯量。

最后还有一个改善装有球铰链头的碾轮作用的第三种方法。我们迄今所讨论的碾轮，其主轴与主动轴两中心轴线的夹角都是  $\delta = 90^\circ$ 。其实，这并不是一般最适当的角度；就是说，在给定的碾轮尺寸和工作速度  $\omega_t$  的条件下，使用这样的角度一般不能得到最大的压力  $P+G$ ，此处的  $P$  仍是迴轉力矩所引起的附加压力。要找出  $\delta$  角的最适当的数值，仍旧要回到普遍公式(1)。设  $c$  是过碾轮重心  $S$  之平面上的碾轮圆周的半径(图 8)，又假定此圆周是无滑动地沿着半径为  $r$  的水平圆周滚动。那么，我们以  $a$  记从重

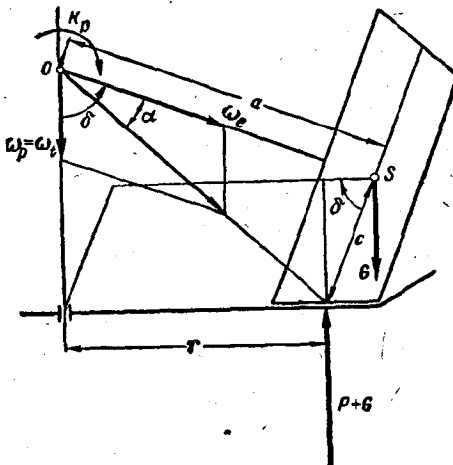


圖 8. 最有利的中心軸夾角的計算。

心  $S$  到轉動中心  $O$  的距離，即得如下對  $O$  点之矩的平衡条件的方程式：

$$(P+G)r = G a \sin \delta + [A\omega_s + (A-B)\omega_p \cos \delta] \omega_p \sin \delta.$$

方程式右端的迴轉力矩表达式，已經包含作用在  $S$  点的离心力之矩。这很容易証明：根据惠更斯定理（上册，§3；第三段的定理 X），将轉动慣量  $B$  改写成对于过  $O$  点并垂直主軸的軸的形式

$$B = B_0 + \frac{G}{g} a^2,$$

式中  $B_0$  是对于过重心  $S$  之赤道軸的轉动慣量；于是得到

$$(P+G)r = G \sin \delta + [A\omega_s + (A - B_0)\omega_p \cos \delta] \omega_p \sin \delta -$$

$$-\frac{G}{g} \omega_p^2 a^2 \sin \delta \cos \delta, \quad (17)$$

上式右端最后一項，就是離心力( $G/g$ ) $\omega_p^2 a \sin \delta$ 对于 $O$ 点之矩（由此可見，我們可以把迴轉力矩的自由矢量可以归入原点在 $O$ 点的靜止参考系，这时，在迴轉力矩的表达式 $(A, B)$ 內，就已經包括離心力之矩；这个矢量也可以归入原点参与礮輪重心 $S$ 运动的参考系，这时，如果把 $O$ 点选为取矩中心，則必須給迴轉力矩 $(A, B_0)$ 的

自由矢量，补加作用在  $S$  点的离心力对  $O$  点之矩)。

我們在以下确定最有利角度  $\delta$  的推导中，认定除工作速度  $\omega_t$  给定以外， $G$ 、 $A$ 、 $B_0$ 、 $c$  和  $r$  的数值，即碾輪的尺寸、质量和碾輪沿其滚动的水平圆周之半径也都给定。于是，我們由图 8 可以求出

$$a \sin \delta = r + c \cos \delta, \omega_s = \frac{r}{c} \omega_t, \omega_p = \omega_t. \quad (18)$$

利用这些关系式，即可将等式(17)改成下列形式：

$$P \equiv \frac{P}{G} = \frac{c}{r} \cos \delta + \omega_t^2 \left[ \frac{A}{cG} \sin \delta + \frac{A - B_0}{2rG} \sin 2\delta - \frac{r}{g} \left( 1 + \frac{c}{r} \cos \delta \right)^2 \operatorname{ctg} \delta \right]. \quad (19)$$

我們要确定，压力比  $p$  对于两軸夹角  $\delta = 90^\circ$  是否得最大值，可以求上式的偏导数  $\partial p / \partial \delta$ ，并在結果中代入  $\delta = 90^\circ$ 。这样，求得

$$\frac{\partial p}{\partial \delta} = (r^2 - k^2) \frac{\omega_t^2}{rg} - \frac{c}{r}, \text{ 对于 } \delta = 90^\circ, \quad (20)$$

式中所引入的簡写关系为

$$A - B_0 = \frac{G}{g} k^2. \quad (21)$$

因为絕大多数碾輪总是  $r > k$ ，所以只有当

$$\omega_t^2 = \frac{cg}{r^2 - k^2}$$

的时候， $\delta = 90^\circ$  的角度才算是主軸与主动軸之两条中心軸綫最有利的夹角。如果工作速度  $\omega_t$  高于上值，最有利角  $\delta$  要大于  $90^\circ$ ；如果  $\omega_t$  低于上值，则  $\delta$  要小于  $90^\circ$ 。

我們举个例子。設碾輪的自重  $G = 1000$  公斤， $A = 18$  公斤·米秒<sup>2</sup>， $B_0 = 10$  公斤米秒<sup>2</sup>， $r = 1.0$  米， $c = 0.5$  米， $\omega_t = 2\pi$  秒<sup>-1</sup>。图 9 說明这种碾輪的  $p$  量与  $\delta$  角間的关系，这是一般碾輪( $p, \delta$ )曲綫的典型形状。我們看到，最有利的  $\delta$  角为  $103^\circ$ ，即主軸应較水平綫高出  $13^\circ$ ，同这角度相应的  $p$  之最大值則为  $p_{\max} = 1.60$ ，比主軸在水平位置的  $p_0 = 1.42$  大  $13\%$ 。这样，由于迴轉力矩的帮助而使碾輪对支承之压力增大的数值，从主軸在水平位置时为碾輪自重

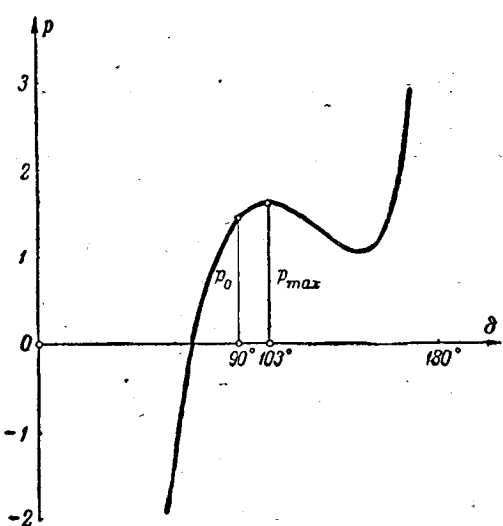


图9. 磨机的( $p, \delta$ )曲线。

量約使碾輪对支鉗的压力增加其自重的一半。因为主軸一般不参与碾輪的本征轉动，所以它所产生的离心力之矩

$$K_p' = -(B' - A')\omega_t^2 \sin \delta \cos \delta, \quad (22)$$

是同主軸对过O点之軸的轉动慣量  $A'$  和  $B' (> A')$  有关的。 $K_p'$  矩(装球銳鏈头的情形)是增加或減小碾輪对支鉗的压力，要看主軸抬高或降低而定。

当然，这一个求主軸与主动軸两中心軸綫之最有利夹角  $\delta$  的問題，还可以改成其他多种不同的提法。例如，我們可以不用  $c$  和  $r$  而把  $a$  和  $r$  的数值作为給定，因而  $\alpha$  角(图8)也是給定的；那么在等式(17)中就必须以  $a$  和  $c$  (或  $\alpha$ ) 来表出  $r$ 。我們还可以不理  $p$  的最大值，而专求与最有利角  $\delta$  相应的最大  $M$  矩，即等式(17)右端的最大值。这样的提法，例如对于支鉗是圓錐形状的情形特別恰当。所有这些情形的計算結果都指出：最有利的  $\delta$  角一般不是  $90^\circ$ ，而是比它稍高一些。

### 3. 摆磨机 以上所討論的磨机的碾輪，是作外摆綫式的进动

的  $142\%$ ，用斜裝主軸的办法就可以提高到碾輪自重的  $160\%$ ，并且，不增加碾輪的离心力載荷，相反的，当  $\delta = 103^\circ$  时，离心力在給定的工作速度  $\omega_t$  之下甚至要比  $\delta = 90^\circ$  时小。

如果要把主軸的重量和轉动慣量計算在內，則以上所作的計算都要稍作修正。主軸的重